

# Лекции 3-5

(1)

## Алгебра Ивахори - Гекке

### §1 Элементы Юуса - Мэрри

Замечательный набор элементов в группе  
кос  $J_i$ ,  $i = 1, 2 \dots n$ , задается итогово:

$$\boxed{J_1 = 1, J_{i+1} = b_i J_i b_i^{-1} \quad i \geq 1} \quad (1a)$$

или явной формулой

$$\boxed{J_i = b_{i-1} b_{i-2} \dots b_2 b_1 b_2 \dots b_{i-1} b_i} \quad (1b)$$

или графически

$$J_i = \begin{array}{c} : \\ | \\ 1 \\ | \\ 2 \\ | \\ \dots \\ | \\ i-1 \\ | \\ i \\ | \\ i+1 \\ | \\ \dots \\ | \\ n \end{array} \quad (1b)$$

$J_i$  называются элементами Юуса - Мэрри. Они  
были введенены в рассмотрение A. Юусом (A. Jucys,  
1966 - 1974) и, независимо G. Murphy (1981) при  
изучении симметрической группы. В силу специфики  
симм. групп (в ней все  $J_i \equiv 1$ ) определение,  
данное этим элементами Юусом и Мэрри, отлича-

лось от прибейского бояне (см. Упражнение ниже) (2)

Важнейшее свойство  $J_i$  — они коммутируют:

$$J_i J_j = J_j J_i$$

(2)

Эти они根本но отличаются от похожих элементов  $A_{ii}$ .

Графическая коммутативность вполне очевидна.

Упражнение 1: докажите (2) алгебраически, используя артикуловые соотношения для  $B_i$ .

Элементы Юисса-Морри порождают алгебраическую подгруппу  $\langle \{J_i\}_{i=1..n} \rangle \subset B_n$ . Она бесконечна.

Центр групп кос  $Z[B_n]$  лежит в кей:

Утверждение 1: Центр групп кос  $B_n$ ,  $n > 2$ ,

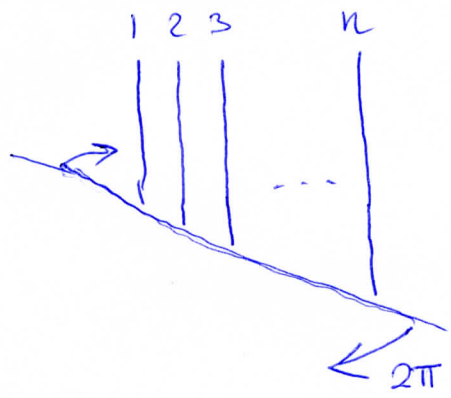
порождается элементом

$$Z_n = J_1 J_2 \dots J_n : \quad Z[B_n] = \langle Z_n \rangle \quad (3)$$

/ Wei-Liang Chow, 1948/

Графически ~~к~~ коса  $Z_n$  получается, если в кеэзанле-  
тской косе ~~к~~ нижние концы нитей группы повернуть  
вокруг вертикали на  $360^\circ$  про часовой стрелке:

(3)



Графически очевидно, что  $Z_n \in \mathbb{Z}[B_n]$

Упражнение 2:

а) проверьте алгебраически, что  $b_i Z_n = Z_n b_i \forall_{i=1, \dots, n-1}$   
т.е., что  $Z_n \in \mathbb{Z}[B_n]$

б) проверьте соотношения

$$Z_n = X_n^2 = (C_n)^n,$$

где  $C_n := b_1 b_2 \dots b_{n-1}$  —  $n$ -цикла

$X_n := b_1(b_2 b_1)(b_3 b_2 b_1) \dots (b_{n-1} \dots b_2 b_1)$  — поворот  
каждой части расплетеного косы на угол  $180^\circ$ .

Упражнение \* 3\*

- а) определите в терминах генераторов и соотношений  
группу кос на  $\mathbb{R}^2$  с волчкой торкой:  $\pi_1(B_n[\mathbb{R}^2 \setminus \{0\}])$
- б) Определите в этой группе аналог кабора  
элементов Туисса-Мэрри.

§2

## Напоминание о симметрической группе $S_n$ (4)

Симметрическая группа  $S_n$  — ~~кокезкаль~~ фактор-группа  $B_n$ . Задается в терминах генераторов  $\sigma_i$ ,  $i=1, \dots, n$  — элементарных перестановок  $(i, i+1)$ , и соотношений.

$$\begin{aligned} \sigma_i \sigma_j &= \sigma_j \sigma_i, \quad |i-j| > 1 \\ \sigma_i \sigma_{i+1} \sigma_i &= \sigma_{i+1} \sigma_i \sigma_{i+1}, \\ \sigma_i^2 &= 1 \end{aligned} \tag{4}$$

Порядок группы:  $\# S_n = n!$ , ок не — размерность ее групповой алгебры  $\dim \mathbb{C}[S_n] = n!$

Всякий элемент ~~всегда~~  $\in S_n$  (~~есть~~ то есть, всякий элемент линейного базиса в  $\mathbb{C}[S_n]$ ) можно представить в виде композиции циклов

$$\left\{ \begin{array}{l} c_{ij} = \sigma_{j-1} \sigma_{j-2} \dots \sigma_i = \begin{array}{c} 1 & i & i+1 & j & n \\ \diagup & \diagdown & \diagup & \diagdown & \diagup \\ - & & & & - \end{array} \\ (c_{ii} = 1) \end{array} \right.$$

$$x = c_{i_1 j_1} c_{i_2 j_2} c_{i_3 j_3} \dots c_{i_n j_n}, \text{ где } i_k \in \{1, 2, \dots, n\}$$

Таких элементов ровно  $n!$  штук.

(5)

## По теореме Маттике базовое представление

$S_n$  над полем  $\mathbb{F}$ , характеристика которого не делит  
период групп (в частности, над  $\mathbb{C}$ ) разлагается  
в прямую сумму керниводических представлений.  
Численными словами, групповая алгебра  $\mathbb{C}[S_n]$  полу-  
чается. Поэтому для такого описания пред-  
ставлений  $S_n$  достаточно классифицировать ее  
керниводические представления. Напомним об  
классификации:

Керниводическое представление  $S_n$  индексируется  
разбиениями числа  $n$ :  $\lambda + n$ .

$$\lambda = \{\lambda_1, \lambda_2, \dots, \lambda_k, \dots\} : \sum_k \lambda_k = n, \quad \lambda_i \geq \lambda_{i+1} \geq 0$$

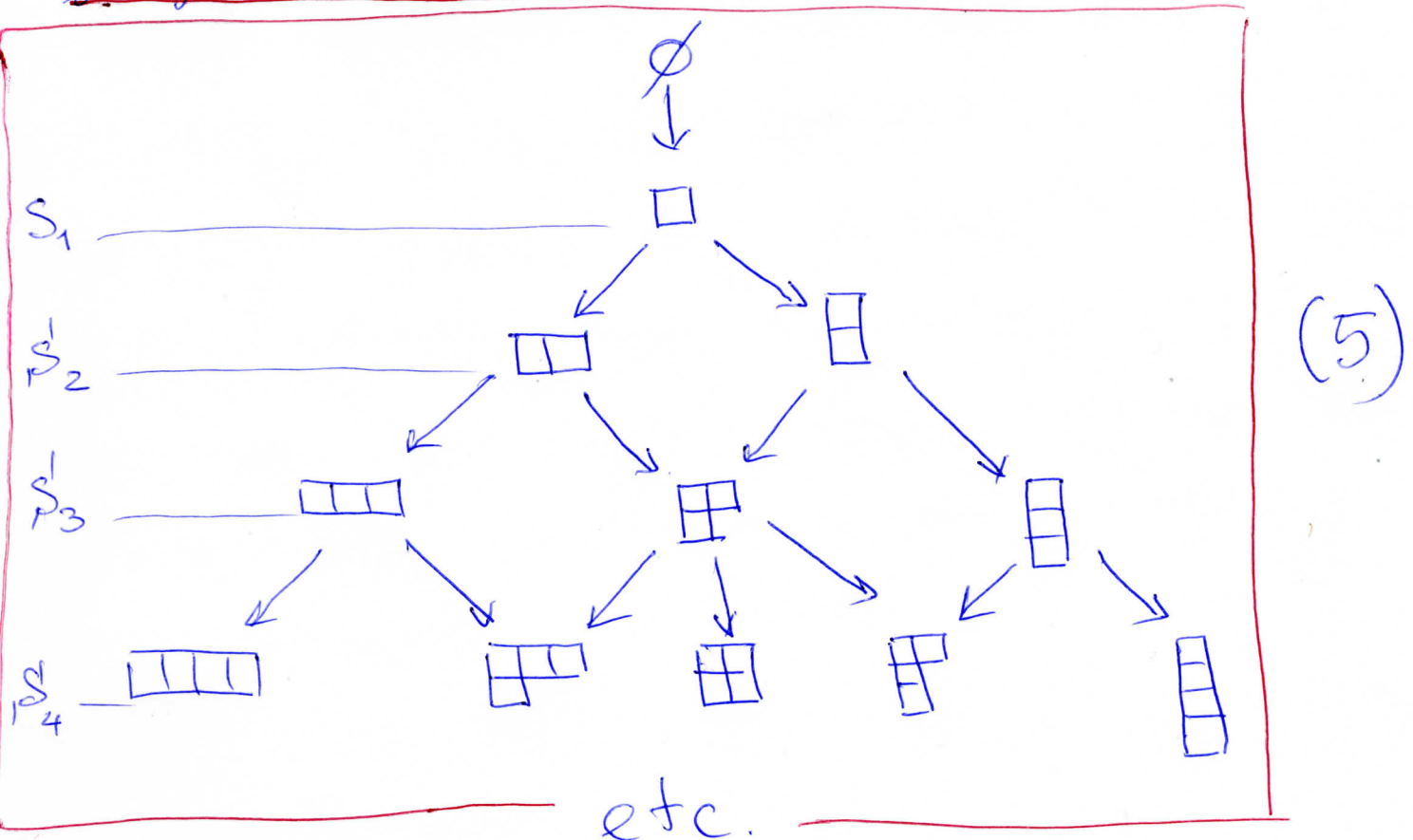
$$\lambda_i \in \mathbb{Z}$$

которое удобно рисовать в виде диаграмм листа:

$$\lambda = \begin{array}{|c|c|c|c|c|} \hline & \square & \cdots & \square & \\ \hline & \square & \cdots & \square & \\ \hline & \square & \cdots & \square & \\ \hline & \vdots & & \vdots & \\ \hline i & \square & \cdots & \square & \\ \hline \end{array} \leftarrow \begin{array}{l} \lambda_1 \text{ клеток в 1-й} \\ \lambda_2 \text{ клеток в 2-й} \\ \vdots \\ \lambda_k \text{ клеток в } k-\text{й} \end{array}$$

$V_\lambda$  — обозначение для керниводического представления  
 $S_n$ , отвечающего разбиению  $\lambda + n$ .

Взаимосвязь неприводимых представлений группы  $\mathfrak{S}_n$  (для разного  $n$ ) описывается, так называемой, диаграммой Брахеми (он же, граф Бернеке):



Этот граф — набор вершин, измеренных разбиениями  $\lambda$  и ориентированных рёбер между ними. В графике имеется горизонтальное расположение, измеренное сверху-вниз:  $0-\text{й}$ ,  $1-\text{й}$ ,  $2-\text{й}$  ...

На  $k$ -ом уровне расположены вершины с  $k$ -клеточными диаграммами Токса ( $\lambda+k$ ).

Эти вершины соответствуют всем неприводимым представлениям  $\mathfrak{S}_{\lambda+k}$  групп  $\mathfrak{S}_k$ .

(7)

Ребра графа ведут с уровня  $k$  на уровень  $(k+1)$ .

Если пара вершин графа, скажем,  $\lambda + k$  и  $\mu + k+1$ , соединена ребром, то представление  $V_\mu$  группог  $S_{k+1}$  содержит в себе представление  $V_\lambda$  подгруппы  $S_k \subset S_{k+1}$ . (Считаем, что подгруппа  $S_k$  порождена первыми  $(k-1)$  генераторами  $\sigma_i, i=1\dots k-1$ , группы  $S_{k+1}$ , т.е. всяких, за исключением  $\sigma_k$ ). Наоборот, в представлении  $S_{k+1}$  выделенное с представлением  $V_\lambda$  ее подгруппа  $S_k = \langle \sigma_1, \sigma_2, \dots, \sigma_{k-1} \rangle$ , содержит в качестве неприводимой компоненты  $V_\mu$ .

Размерность неприводимого представления  $V_\lambda$ ,  $\lambda + n$ , группы  $S_n$  совпадает с числом различных путей, ведущих в графе ветвления из вершины  $\emptyset$  в вершину  $\lambda$ . Каждый такой путь описывается стандартной таблицей Юнга  $t_\lambda$  — это диаграмма Юнга, в клетках которой различного числа  $1, 2, \dots, n$  (каждое по 1-му разу), причем эти числа возрастают по горизонтали и вертикали при удалении от верхнего левого угла диаграммы.

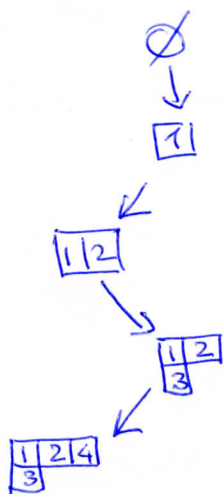
Пример:

$$\lambda+4 = \begin{array}{|c|c|c|}\hline & & \\ \hline & & \\ \hline & & \\ \hline\end{array}, \quad t_{\lambda(1)} = \begin{array}{|c|c|c|}\hline 1 & 2 & 3 \\ \hline 4 \\ \hline\end{array}, \quad t_{\lambda(2)} = \begin{array}{|c|c|c|}\hline 1 & 2 & 4 \\ \hline 3 \\ \hline\end{array},$$

$$t_{\lambda(3)} = \begin{array}{|c|c|c|}\hline 1 & 3 & 4 \\ \hline 2 \\ \hline\end{array}.$$

$$\dim V_{\begin{array}{|c|c|c|}\hline & & \\ \hline & & \\ \hline & & \\ \hline\end{array}} = 3$$

Соответствие между путями на графике ветвления и стандартными табличами тока описано на примере:



Из примера становится ясно, что правило построения графа ветвления для  $S_n$ : где диаграмма  $\lambda+K$  и  $\mu+K+1$  графа соединены ребром тогда и только когда  $\mu+K+1$  получается из  $\lambda$  добавлением одной клетки.

Например  $\begin{array}{|c|}\hline\end{array}$  и  $\begin{array}{|c|c|}\hline & \\ \hline\end{array}$  ребром не соединяются,

а  $\begin{array}{|c|}\hline\end{array}$  и  $\begin{array}{|c|c|}\hline & \\ \hline & \\ \hline\end{array}$  соединяются.

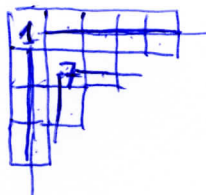
Число стандартных таблиц  $\text{TD}_n$ , отображающих  
длиной диаграмме  $\lambda + n$ , око же - размерность  
неприводимого представления  $V_\lambda$  удобно вычислить  
по формуле крюков (hook length formula) ⑨

$$d_\lambda = \dim V_\lambda = \frac{n!}{\prod_{i=1}^n h_{\lambda,i}} \quad (6)$$

где  $h_{\lambda,i}$  - длина крюков, проведенных из всех  
клеток диаграммы  $\lambda$  (которые имеют индексами  $i=1, 2, \dots, n$ )

Пример:

$$\lambda =$$



$$\lambda + n$$

$h_{\lambda,1} = 8$  - длина крюка, построено-  
го с вершиной в клетке 1-  
-число занятых им клеток  
диаграммы  $\lambda$ . (см. рис.)

$$h_{\lambda,7} = 3 \quad (\text{см. рис})$$

$$\dim V_\lambda = \frac{11!}{8 \cdot 6 \cdot 4 \cdot 2 \cdot 5 \cdot 3 \cdot 1 \cdot 2 \cdot 1 \cdot 1} = \frac{11 \cdot 10 \cdot 9 \cdot 7}{2} = 3465$$

Граф ветвления  $S_n$  удобно иллюстрирует теорему  
Беггедерна-Артина (Wedderburn-Artin) о полупростых  
алгебрах, которая в применении к  $S_n$  (т.е. к  $\mathbb{C}[S_n]$ ),  
приводит к:

$$\dim \mathbb{C}[S_n] = n! = \sum_{\lambda+n} (\dim V_\lambda)^2 \quad (7)$$

Пример:  $4! = 2^2 + 3^2 + 3^2 + 1^2 + 1^2$  - см. 4-ю строку графа  
ветвления.

§3

Алгебра Ивахори - Текке

10

Алгебра Ивахори - Текке (Iwahori-Hecke) – это фактор-алгебра  $\mathbb{C}[B_n]$  по двустороннему идеалу, порожденному соотношением

$$\Gamma_1 := b_1^2 - (q - \bar{q}^{-1}) b_1 + 1 = 0,$$

где  $q \in \mathbb{C}^\times$  – параметр алгебры.

Алгебра эта обозначается  $H_n(q)$ . Её элементы

$x_{\Gamma} \in H_n(q)$  – это класс элементов в  $\mathbb{C}[B_n]$  буга

$$H_n(q) \ni x_\Gamma \iff x + \mathbb{C}[B_n] \Gamma_1 \mathbb{C}[B_n] \in \mathbb{C}[B_n].$$

Вместо  $\Gamma_1$  где её определение можно записать

$\forall \Gamma_i := b_i^2 - (q - \frac{1}{q}) b_i - 1$ . Дело в том, что все элементы  $b_i$  коммутируют между собой в группе кос (проверьте это).

В терминах генераторов и соотношений  $H_n(q)$  задается как алгебра, порожденная  $g_i$ ,  $i=1, 2, \dots, n-1$  удовлетворяющая соотношениям

$$\begin{aligned}
 g_i g_j &= g_j g_i \quad \text{если } |i-j| > 1, \\
 g_i g_{i+1} g_i &= g_{i+1} g_i g_{i+1}, \\
 g_i^2 &= 1 + (q - \frac{1}{q}) g_i
 \end{aligned} \tag{8}$$

Очевидно,  $g_i$  соответствует классу экспоненциального  
записи:

$$g_i = (b_i)_\Gamma$$

Алгебра Иахори-Гекке называется также алгеб-  
рой Гекке серии An, или просто алгеброй  
Гекке (это если не возникает путаницы с другими  
сериями алгебр Гекке).

Следующие факты об алгебрах  
Гекке мы приведем без доказательства

1)  $\dim H_n(q) = n!$ ,

Линейной базис в  $H_n(q)$  можно выбрать  
по аналогии с  $S_n$ :

$$\boxed{x_{i_1, i_2 \dots i_n} = c_{i_1} c_{i_2, 2} \dots c_{i_n, n}, \text{ где } i_k \in \{1, 2, \dots k\}}$$

$$\text{и } c_{ij} := g_{j-1} g_{j-2} \dots g_i \quad (c_{ii} := 1)$$

Решение: Можно убедиться, что  $\forall x \in H_n(q)$  можно  
представить в виде линейной комбинации  $x_{i_1, i_2 \dots i_n}$ .

Упражнение 4: докажите это  $\uparrow$ . Подсказка: про-  
верьте сначала, что  $\forall x \in H_n(q)$  есть линейная  
комбинация элементов вида

$y = h_{n-1}(q)g_{n-1} + h_{n-1}(q)u \in h_{n-1}(q)$ , где (12)

$$H_{n-1}(q) = \langle g_1, g_2, \dots, g_{n-2} \rangle \subset H_n(q)$$

(2)  $\mathbb{C}[S_n] \cong H_n(1) \cong H_n(-1)$  (очевидно)

$$\boxed{\mathbb{C}[S_n] \cong H_n(q)} \quad \text{при всех значениях}$$

$q \in \mathbb{C}^*$ , за исключением  $q^i$ :

$$[i]_q := \frac{q^i - 1}{q - 1} = 0$$

здесь  $i = 2, 3, \dots, n$ .

условие (2)

Если же  $q$  выполнено одно из условий (2), то

$H_n(q)$  не полупроста.

(3) Элементы Кука-Мэри ~~непротиворечивы~~

$$J_1 = 1, J_2 = g_1^2, J_3 = g_2 g_1^2 g_2, \dots, J_{i+1} = g_i J_i g_i \quad i=1 \dots n-1$$

образуют максимальную коммутативную подалгебру в альгебре  $H_n(q)$ .

Всёкое неприводимое представление алгебры  $H_n(q)$  в пространстве  $V$  есть

(13)

## Энзордизм

$$H_n(q) \rightarrow \text{End}(V),$$

то есть отображение  $H_n(q)$  на алгебру матриц размера  $\dim V \times \dim V$ . При этом ~~образ максималь-~~ как коммутативная подалгебра  $\text{End}(V)$  является образом подалгеброй, породаемой элементами Шуца-Мэрри. Как известно, любая ~~матрица~~ линейная симметрическая матрица имеет диагональные элементы, то есть подобна диагональным матрицам, то есть подобна диагональным. При этом базис в  $V$  может быть свободен.

Таким образом, в любой неприводимой представлении  $V$  алгебры  $H_n(q)$  можно выбрать базис, в котором все элементы  $J_i, i=1 \dots n-1$ , действуют диагонально. При этом набор собственных значений  $a_i$  элементов  $J_i$  однозначно (сточность до умножения на число) характеризует каждый элемент ~~базиса~~ базиса  $\{v_\alpha, \alpha = \{a_1, a_2 \dots a_n\}$

$$J_i v_\alpha = a_i v_\alpha$$

Иначе  $\langle J_1, J_2, \dots, J_n \rangle$  не могла бы быть максимальной коммутативной подалгеброй в  $H_n(q)$ .

(4)

Очевидно, центр алгебры  $H_n(q)$  лежит в любой ее максимальной коммутативной

(14)

и подалгебре. В частности,

$$\boxed{\mathbb{Z}[H_n(q)] \subset \langle J_1, J_2, \dots, J_n \rangle}$$

Оказывается центр  $H_n(q)$  является подалгеброй симметрических многочленов от  $J_1, J_2, \dots, J_n$ .

Следовательно, в любой кепернивационной представке-  
ции  $H_n(q)$  симметрические многочлены являются собствен-  
ными значениями а; элементов  $J_i$  являются постоянны на  
всех элементах базиса  $\{v_d\}$ . Изложение Шура

Мы проверим утверждение о центре  $H_n(q)$  в  
одном направлении, а именно:  $\text{Sym}(J_1, J_2, \dots, J_n) \subset \mathbb{Z}[H_n(q)]$

Для этого достаточно проверить, что

$$a) [g_i, J_k] = 0 \text{ если } i \neq k, k+1$$

$$\delta) [g_i, J_i J_{i+1}] = 0$$

$$b) [g_i, (J_i + J_{i+1})] = 0$$

Упражнение 5: докажите а), б), в), воспол-  
ьзовавшись соотношением (8).

Упражнение 6: Убедитесь, что элементы  $\frac{J_i - 1}{q - \frac{1}{q^k}} = y_i$ ,  
 $i = 1, 2, \dots, n$  образуют в пределе  $q \rightarrow 1$  непривидимый  
набор коммутирующих элементов в  $\mathbb{C}[S_n]$ . Получите явное выражение для  $y_i$  / Это коммутативный набор  
в  $\mathbb{C}[S_n]$ , предложенный Юлием и Марком

I. Спектр элементов Юниса-Мардри.

В этом и следующем параграфах мы установим соответствие между неприводимым представлением алгебры Гекке  $H_n(q)$  и генурациями  $H_n$  для  $\lambda \in \mathbb{C}$ , а также между базисами в этих представлениях и стандартными генурациями  $H_n$ . Это естественно означает, т.к.  $H_n(q) \cong \mathbb{C}[S_n]$ .

С этой целью займемся изучением спектра элементов Юниса-Мардри в неприводимом представлении

$V$ . Мы выберем базис  $\{v_\alpha\}$  в  $V$ , где

$\lambda = \{a_1, a_2, \dots, a_n\}$  — собственное значение  $J_i$

на  $v_\alpha$ :

$$\boxed{J_i v_\alpha = a_i v_\alpha} \quad (9)$$

Теорема 1 Пусть  $v_\alpha$  — вектор в неприводимом представлении  $V H_n(q)$ , собственный для всех  $J_i$  с м. (9), причем  $\lambda = \{a_1, a_2, \dots, a_n\}$ . Тогда:

(a)  $a_i \neq a_{i+1}$

(б) если  $a_i \neq q^{\pm 2} a_{i+1}$ , то  $\exists v_{\alpha'} \in V$  — собственный вектор для всех  $J_i$  с набором

собственных значений

(16)

$$\alpha' = \{a_1, a_2, \dots, a_{i+1}, \underset{\uparrow}{a_i}, a_{i+2}, \dots, a_n\} = \sigma_i \alpha$$

*i-й элемент*

(b) если  $a_{i+1} = q^{\pm 2} a_i$ , то в представлении  $V$  нет вектора  $v_{\alpha'}$ ,  $\alpha' = \sigma_i \alpha$ , причём

$$a_{i+1} = q^{\pm 2} a_i \Rightarrow g_i v_{\alpha} = \pm q^{\pm 1} v_{\alpha} \quad (10)$$

Доказательство:

а) Предположим, что  $a_i = a_{i+1} = a$  где некоторого  $i$ .

Проследим за действием элементов  $g_i, J_i, J_{i+1}$  в  $V$ .  
Они образуют подалгебру в  $H_n(q)$  с соотношениями

$$\left| \begin{array}{l} g_i^2 = 1 + (q - \frac{1}{q}) g_i \\ J_{i+1} = g_i J_i g_i^{-1} \\ J_i J_{i+1} = J_{i+1} J_i \end{array} \right| \quad (11)$$

Имеем:  $J_i v_{\alpha} = J_{i+1} v_{\alpha} = a v_{\alpha}$ .

Из равенства  $g_i J_i v_{\alpha} = J_{i+1} g_i^{-1} v_{\alpha} = J_{i+1} (g_i - (q - \frac{1}{q})) v_{\alpha}$

заключаем:  $(J_{i+1} - a)(g_i v_{\alpha}) = (q - \frac{1}{q}) a v_{\alpha} \quad (*)$

Вектор  $g_i v_{\alpha} \in V$  можно разложить по базису  $\{v_{\beta}\}$  собственных векторов элементов тописа-Марди. Тогда в левой части  $(*)$  будет отсутствовать вектор  $v_{\alpha}$  (т.к.  $J_{i+1} v_{\alpha} = a v_{\alpha}$ )

⇒ Получим противоречие  $\square$

8) Проверим как  $J_i \cup J_{i+1}$  действуют на векторе

$$\omega = (g_i + \lambda \frac{a_{i+1}}{a_i - a_{i+1}} 1) v_2 \quad (12)$$

предположим  $\lambda = q - 1/a$

$$J_i \omega = g_i^{-1} J_{i+1} v_2 + \lambda \frac{a_{i+1}}{a_i - a_{i+1}} J_i v_2 =$$

$$= a_{i+1} (g_i - \lambda 1) v_2 + \lambda \frac{a_i a_{i+1}}{a_i - a_{i+1}} v_2 =$$

$$= a_{i+1} (g_i + \lambda \frac{a_{i+1}}{a_i - a_{i+1}} 1) v_2 = a_{i+1} \omega$$

Аналогичная выкладка даёт  $J_{i+1} \omega = a_i \omega$

Заметим, что при условии  $a_{i+1} \neq q^{\pm 2} a_i$   
оператор  $(g_i + \lambda \frac{a_{i+1}}{a_i - a_{i+1}} 1)$  обратим, а значит  
 $\omega \neq 0$ .

С учётом того, что  $J_k \omega = a_k \omega$  (также  
как и для  $v_2$ ) при всех  $k \neq i, i+1$ , заключаем,

что

$$\omega = v_2' \quad \alpha = 5 \cdot 0 \alpha \quad \square \quad (12a)$$

b) Для определенности рассмотрим случай  
 $a_{i+1} = q^2 a_i$ . Предположим, что вектор  
 $\omega$  (12) непривидел:

(18)

$$\omega = (g_i - q \cdot 1) v_{\alpha} \neq 0$$

Тогда  $\omega = v_{\alpha}'$ , причём

$$(g_i + \frac{1}{q} \cdot 1) v_{\alpha}' = 0$$

Получается, что  $v_{\alpha}$  и  $\omega = v_{\alpha}'$  являются не обратимыми преобразованиями, и от  $v_{\alpha}'$  к  $v_{\alpha}$  вернуться не получается.

То есть  $v_{\alpha}'$  породяет  $H_n(q)$ -инвариантное подпространство в  $V$ , не содержащее  $v_{\alpha}$ , что противоречит неприводимости  $V$ . □

Рем. Подчеркнутые фразы в завершении предыдущего доказательства требует строгого обоснования. Для этого наше потребуется

Лемма: Пусть  $V$  неприводимое представление  $H_n(q)$ ,  $\{v_{\alpha}\}$  — базис в  $V$ , диагонализующий элементарную матрицу Фурса-Мэрдса. Пусть  $\{\bar{v}_{\alpha}\} \subset \{v_{\alpha}\}$  — подмножество всех векторов из базиса  $\{v_{\alpha}\}$ , имеющих одинаковое собственное значение у операторов  $J_{k+1}, J_{k+2}, \dots, J_n$ , ( $k < n$ ). Они имеют вид

$$\bar{v}_{\alpha} = (*, \dots, *, \underbrace{\alpha_{k+1}, \alpha_{k+2}, \dots, \alpha_n}_{\text{фиксировано}})$$

переменная  
часть,  
первое к компонент

Тогда  $\{\bar{v}_{\alpha}\}$  является базисом неприводимого представления  $V = \text{Span}\{\bar{v}_{\alpha}\}$  подалгебры  $H_k(q) \subset H_n(q)$  породженной генераторами  $g_1, g_2, \dots, g_{k-1}$ .

Доказательство: Доказем утверждение для  $k = n-1$ .

Далее это можно распространить на  $k < n-1$  по

индукции.

Доказательство проводим от противного: пусть имеется набор векторов  $\{\bar{v}_\alpha\}$  с одинаковыми и-юми коэффициентами  $a_i = A$ , таких что  $V = \text{Span}\{\bar{v}_\alpha\} -$  приводимое представление  $H_{n-1}(q)$ . Пусть  $U' \subset V$ ,  $U' \neq U$  — неприводимое представление  $H_{n-1}(q)$  с базисом  $\{\bar{v}'_\alpha\}$ .

Очевидно,  $\{\bar{v}'_\alpha\} \subset \{\bar{v}_\alpha\}$ , причем  $\{\bar{v}_\alpha\} \setminus \{\bar{v}'_\alpha\} \neq \emptyset$ .

Рассмотрим представление  $H_n(q)$ , породданное с  $U'$ :  $H_n(q)U'$ . Так как всякий элемент  $H_n$ , это либо элемент подалгебры  $H_{n-1}$ , либо элемент вида  $H_{n-1}g_{n-1}H_{n-1}$  (см. подсказку к Упражнению 4 на стр 11-12), то

$$H_n U' = \text{Span}\{H_{n-1}U', H_{n-1}g_{n-1}H_{n-1}U'\} = \\ = \text{Span}\{U', H_{n-1}g_{n-1}U'\}$$

Заметим, что если  $\bar{v}'_\alpha \in U'$   $g_{n-1}\bar{v}'_\alpha$  есть линейная комбинация  $\bar{v}_\alpha$  и  $\bar{v}'_{\alpha'}$ ,  $\alpha' = \sigma_{n-1}\alpha$ . При этом  $\bar{v}'_{\alpha'} \notin U$ , так как у него  $a_i \neq A$  ( $a_{i-1}$  и  $a_n$  в  $\bar{v}'_\alpha$  не могут совпадать). Случай не исправляется и если подействовать на результат  $H_{n-1}$ :

$$H_{n-1}U' \cap U = U'$$

Следовательно  $H_n U' \cap U = U'$ , а значит  $H_n U'$  не содержит некоторых векторов из  $U$  и не совпадает с  $U$ , что противоречит неприводимости  $V$   $\square$

19a

Теперь докажем подчеркнутое утверждение  
со стр 18:

В силу леммы вектор  $\bar{v}_2'$  порогает неуводимое  
представление  $H_{i+1}(q) \subset H_n(q)$ .:

$$U = H_{i+1} \bar{v}_2' = \text{Span}\{H_i \bar{v}_2', H_i g_i H_i \bar{v}_2'\}$$

Вектор  $\bar{v}_2$  имеет совпадающие с  $\bar{v}_2'$  компоненты, начи-  
ная с  $a_{i+2}$ , поэтому должно быть  $\bar{v}_2 \in U$ .

$\bar{v}_2$  имеет индекс  $\alpha = (\dots, \overset{a}{\underset{i}{\uparrow}}, \overset{q^2a}{\underset{i+1}{\downarrow}}, \dots)$

$\bar{v}_2'$  имеет индекс  $\alpha' = (\dots, q^2a, \overset{a}{\underset{i}{\uparrow}}, \dots)$

Позицию  $\bar{v}_2 \notin H_i \bar{v}_2'$  ( $i+1$ -е компонент различна)

$H_i \bar{v}_2'$  может содержать вектора вида  $H_{i-1} \bar{v}_2'$   
и вектора с индексом  $\beta = (\dots, \overset{b}{\underset{i}{\uparrow}}, a, \dots)$ ,  
зде  $b \neq q^2a$ .

Но  $g_i(H_{i-1} \bar{v}_2') = H_{i-1} g_i \bar{v}_2' = \frac{-1}{q} H_{i-1} \bar{v}_2' - \text{не порогает } \bar{v}_2$   
и  $g_i v_p = \text{лин. комбинация } v_p \text{ и } \bar{v}_2 \text{, откуда } v_p \text{ не со-}\underline{\text{впадают с }} \bar{v}_2$

Таким образом,  $g_i H_i \bar{v}_2'$  не содержит  $\bar{v}_2$ , так как  
на ~~(i+1)-м~~ месте у них разное компоненты

Следовательно, и  $H_i g_i H_i \bar{v}_2' \neq \bar{v}_2$ .

Получили  $\bar{v}_2 \notin U$  — противоречие, которое  
разрешается требованием  $\bar{v}_2' = (g_i - q \cdot 1) \bar{v}_2 = 0$ .



Следствие 2 В условиях теоремы 1 имеется 20

компонент индекса  $\alpha = \{a_1, a_2, \dots, a_n\}$  верно:

$$a_i \in \{q^{2k}, k \in \mathbb{Z}\}$$

Dok-Bo: Очевидно,  $a_1 = 1$ . В силу соотношения Гекке  $a_2 = q^{\pm 2}$ . Далее доказательство проводится индукцией от  $a_i$  к  $a_{i+1}$  с использованием пункта 8) Теоремы 1.

Популяризующее в борисовских возмущениях собственное значение операторов Юусса-Морри, то есть индексов  $\alpha$ :

Для  $H_2(q)$  возможны:

$$\alpha_1 = (1, q^2), \quad \alpha_2 = (1, q^{-2})$$

Для  $H_3(q)$  есть варианты

состр. значения  $J_1, J_2, J_3$ ,  
соответственно

$$\alpha_{1a} = (1, q^2, q^4)$$

$$\alpha_{1b} = (1, \cancel{q^2}, \cancel{q^2}) \leftarrow \text{запрещено пунктом а)} \quad \text{теоремы 1.}$$

То все, что  
можно со-  
стремить к  $\alpha_1$   
добавлением  $J_3$ .

$$\alpha_{1c} = (1, q^2, 1)$$

$$\alpha_{1d} = (1, q^2, q^{-2})$$

Все остальные варианты  $\alpha_{1*} = (1, q^2, q^{2k})$ , где  
 $k \neq -1, 0, 1, 2$

не реализуются, так как в силу Теоремы 15), их  
существование позволило бы построить  $\alpha' = (\underline{q^{2k}}, 1, q^2)$

(21)

Не реализуется также и условие  $\Delta_{1C}$ , так как, по Теореме 1 б)

$$g_1 V_{\Delta_{1C}} = q V_{\Delta_{1C}}, \quad g_2 V_{\Delta_{1C}} = -\frac{1}{q} V_{\Delta_{1C}},$$

а значит

$$g_1 g_2 g_1 V_{\Delta_{1C}} \neq g_2 g_1 g_2 V_{\Delta_{1C}} - \text{противоречие.}$$

Итак, получаем возможные конфигурации индексов  $\Delta$  для  $H_3(q)$ :

$$\begin{array}{c} H_2(q) \\ (1, q^2) \end{array} \Rightarrow \left\{ \begin{array}{l} H_3(q) \\ (1, q^2, q^4) \\ (1, q^2, q^{-2}) \end{array} \right\}$$

аналогично:

$$\begin{array}{c} H_2(q) \\ (1, q^{-2}) \end{array} \Rightarrow \left\{ \begin{array}{l} H_3(q) \\ (1, q^{-2}, q^2) \\ (1, q^{-2}, q^{-4}) \end{array} \right\}$$

У этих индексов совпадают наборы  $a_i$ , с точностью до их порядка. Поэтому симметрические дружины от  $a_i$  для них совпадают

→ Возможно, что соответствующие этим индексам вектора прикладывают одному неприводимому представлению размерности 2. Проверь размерность

$$3! = \dim H_3(q) = 2^2 + 1^2 + 1^2 \text{ подтверждает это}$$

предположение.

Упражнение 7: Убедитесь, что набор возможных индексов для  $H_4(q)$  имеет вид

$$(1, q^2, q^4, q^6);$$

$$(1, q^2, q^4, q^{-2}), (1, q^{-2}, q^2, q^4), (1, q^2, q^{-2}, q^4);$$

$$(1, q^2, q^{-2}, 1), (1, q^{-2}, q^2, 1);$$

$$(1, q^{-2}, q^{-4}, q^2), (1, q^{-2}, q^2, q^{-4}), (1, q^2, q^{-2}, q^{-4});$$

$$(1, q^{-2}, q^{-4}, q^{-6}),$$

и таким образом, у  $H_4(q)$  возможное кративоделение  
представлено размерностей 1-2штуки; 2; 3-2штуки:

$$4! = 2^2 + 2 \cdot 3^2 + 2 \cdot 1^2$$

Сформулируем общее правило построения индексов для  $H_n(q)$ :

Правило 3:  $\alpha = \{a_1, a_2, \dots, a_n\}$  может быть  
индексами ~~составляющими~~ вектора  $V_\alpha(q)$  если:

$$1) a_1 = 1$$

$$2) \forall i \quad \{q_i q^2, q_i q^{-2}\} \cap \{a_1, a_2, \dots, a_{i-1}\} \neq \emptyset$$

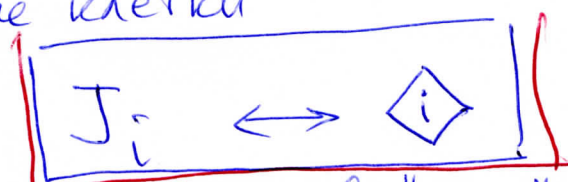
$$3) \text{ если для некоторой пары } i < j, a_i = a_j = a, \\ \text{то } \exists k, l : i < k < j, i < l < j, a_k = q^2 a, \\ a_l = q^{-2} a.$$

Упражнение 8: Докажите правило 3, пользуясь  
теоремой 1 и проделанными затем упражнениями.

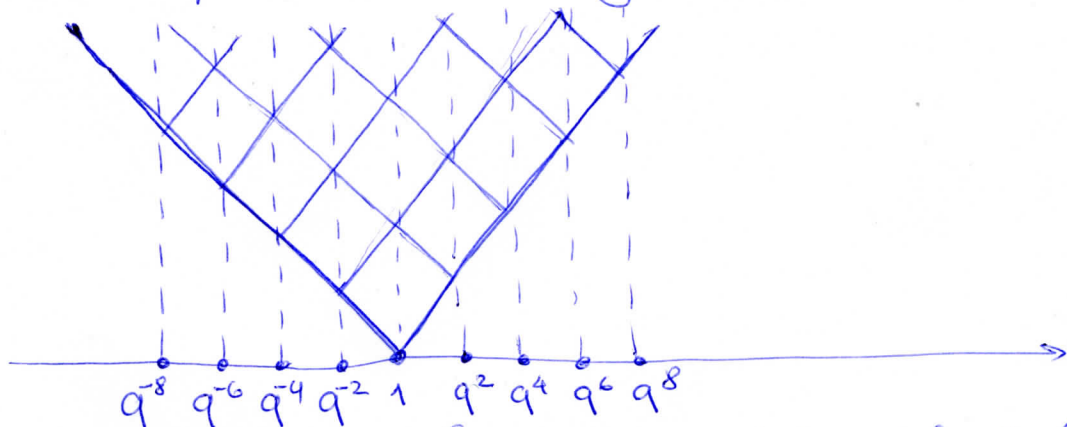
Эти правила соответствуют алгоритму  
построения стандартных таблиц Нига. Действи-

тельно, сопоставим элементам Нуиса-Мэрдса

нумерованное клетки



и будем их бросать в "шаху" игре



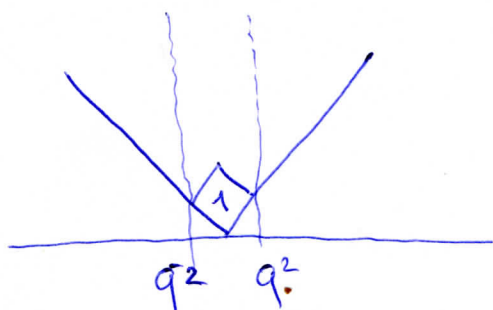
Клетки бросаем последовательно, начиная с  $\diamond 1$ .

Они опускаются в шаху вдоль вертикальных  
линий с координатами  $1, q^{\pm 2}, q^{\pm 4}, q^{\pm 6}, \dots$

Первое клетка  $\diamond 1$  может опуститься только вдоль  
линий с координатой 1 так, чтобы попасть в ниши  
шахы эшта.

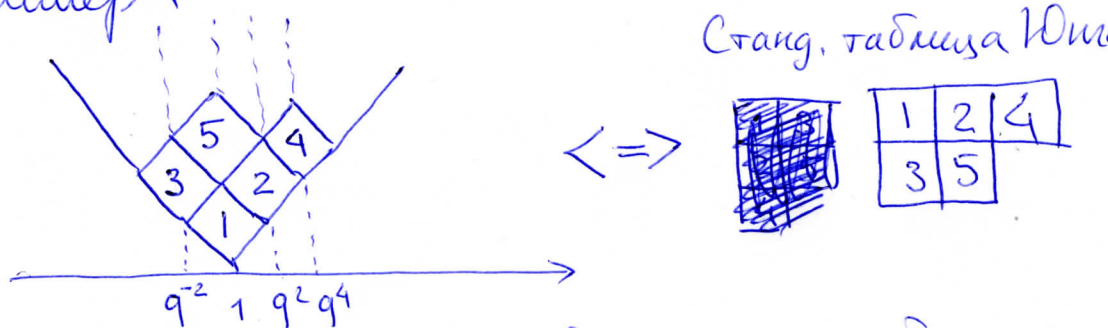
Вторая клетка  $\diamond 2$  должна попасть в один из образо-  
вавшихся минимумов, то есть вдоль линий  $q^2$  или

$q^{-2}$ :



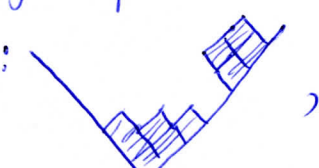
И так далее: каждая следующая клетка должна попадать в локальную линию симметрии образованной уже конфигурации. Получившиеся таким образом конфигурации клеток представляют из себя ~~некоторые~~ стартовое табличку Юма.

Юма. Например:

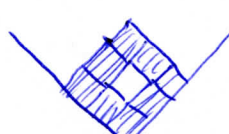


Координата вертикальной линии, вдоль которой падает клетка  $\langle i \rangle$  называется "контентом" (содержанием) клетки  $\langle i \rangle$ . Она соответствует собственному значению  $a_i$  оператора Юнса-Морри  $J_i$ . Например, нарисованной выше конфигурации клеток соответствует индекс  $\chi = \{1, q^2, q^{-2}, q^4, 1\}$ .

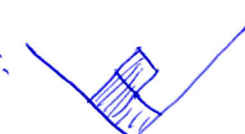
Заметим, что пункт 2) правила 3 предотвращает образование несвязных кластеров в эше:



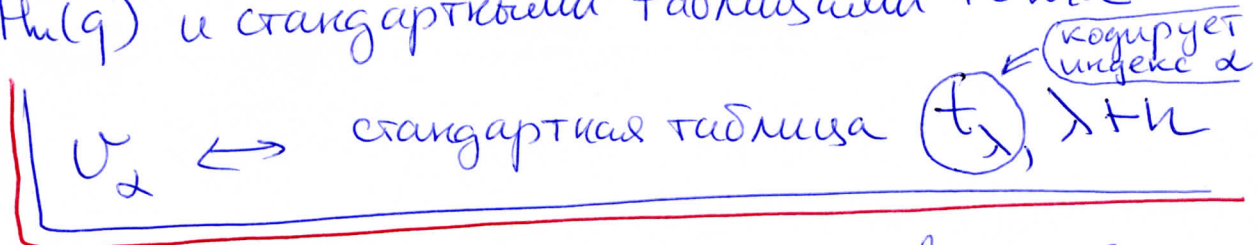
а пункт 3) правила 3 исключает появление кластеров с дырками:



и впадинами:



Таким образом, мы установили взаимо-однозначное соответствие между правилами построения индексов & векторов  $v_2$  в неприводимых представлениях  $H_n(q)$  и стандартными таблицами Юнга.



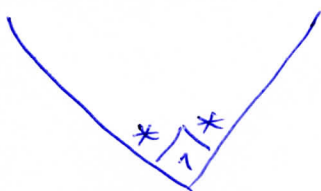
Кроме одному неприводимому представлению могут принадлежать лишь векторы, где стандартные таблицы отвечают одной и той же диаграмме Юнга.

Правила построения индексов & дают нам и удобный способ построения характеристических полиномов в податире элементов Юнса-Мэри. Действительно, в  $H_n(q)$  (в отличие от  $C[B_n]$ ) податира, порожденная элементами  $J_i$  должна быть конечномерной, а значит существует полиномиальное тождество на  $J_i$ :  
Мог их построим, действуя индукцией по  $n$ :

$$\text{В } H_1(q) : J_1 - 1 = 0 \quad - \text{тривиально} \Leftrightarrow \boxed{1}$$

$$\text{В } H_2(q) : \boxed{(J_2 - q^2)(J_2 - \bar{q}^2) = 0} \quad - \text{условие Гекке} \quad (13)$$

Его можно интерпретировать графически как возможность положить клетку  $\boxed{2}$  в одно из двух мест:



с контекстами  $q^2$  и  $q^{-2}$ .

Прежде, чем перейти к рассмотрению  $H_3(q)$  обратим внимание, что соотношение (13) позволяет нам построить разложение единиц алгебры  $H_2(q)$  в сумму взаимно-ортогональных идеалов (проекторов) / нульевое разложение единиц/:

$$P_{\boxed{2}\boxed{1}^x} = \frac{J_2 - q^2}{q^{-2} - q^2} \quad \begin{array}{l} \text{контекст полической "х"} \\ \text{клетки, куда ее попала } \triangleleft \\ \text{контекст клетки, куда попала } \triangleleft \end{array}$$

$$P_{\boxed{x}\boxed{1}} = \frac{J_2 - q^{-2}}{q^2 - q^{-2}}$$
(14)

$P_{\boxed{2}\boxed{1}^x} P_{\boxed{1}\triangleleft} = 0, \quad P_{\boxed{2}\triangleleft}^2 = P_{\boxed{2}\triangleleft}, \quad P_{\boxed{1}\triangleleft}^2 = P_{\boxed{1}\triangleleft}$ 
 $P_{\boxed{2}\triangleleft} + P_{\boxed{1}\triangleleft} = 1$

Обратим внимание, что при  $\forall$  любых значениях  $q$  можем нормировать проекторы  $P_{\triangleleft}$  и  $P_{\triangleleft}$ .

Требуется  $q^2 \neq q^{-2}$ , или  $[2]_q = q + q^{-1} \neq 0$  (если исключить случаи  $q = \pm 1$ , отвечающие симм. группе  $S_3$ )

Так появляются условия полуправоты. При  $[2]_q = 0$

(27)

проекторов  $P_{\boxed{21}}, P_{\boxed{21}}$  некоммутируют, построить  
персональное разложение единиц в  $H_2(q)$  не удаётся,  
и  $H_2(q)$  не полупроста.

Перейдём к  $H_3(q)$ . Характеристические томы делаются  
строится так:

$$\begin{array}{c} * \\ \diagdown \\ \boxed{21} \\ \diagup \\ * \end{array} \Rightarrow \left\{ \begin{array}{l} P_{\boxed{21}} \cdot (J_3 - q^2)(J_3 - q^{-4}) = 0 \\ \text{или} \\ (J_2 - q^2)(J_3 - q^2)(J_3 - q^{-4}) = 0 \end{array} \right\} \quad (15a)$$

$$\begin{array}{c} * \\ \diagdown \\ \boxed{12} \\ \diagup \\ * \end{array} \Rightarrow \left\{ \begin{array}{l} P_{\boxed{12}} \cdot (J_3 - q^4)(J_3 - q^{-2}) = 0 \\ \text{или} \\ (J_2 - q^2)(J_3 - q^{-2})(J_3 - q^4) = 0 \end{array} \right\} \quad (15b)$$

Возникало 2 новых тома, но одному из них  
какого проектора из  $H_2(q)$ . Они порождают новые  
проекторы:

$$\left\{ \begin{array}{l} P_{\boxed{3121}} = P_{\boxed{21}} \cdot \frac{J_3 - q^2}{q^{-4} - q^2} \\ P_{\boxed{1231}} = P_{\boxed{21}} \cdot \frac{(J_3 - q^{-4})}{q^2 - q^{-4}} \end{array} \right.$$

контекст, помеченный  $4 \times 4$   
 клетки, куда могла встать,  
 но не встала  $\square$   
 контекст клетки, куда встала  $\square$

эти 2 идеалпотента происходят из тома (15a)

$$P_{\begin{smallmatrix} x \\ 123 \end{smallmatrix}} = P_{\begin{smallmatrix} 12 \\ \square \end{smallmatrix}} \cdot \left\{ \frac{J_3 - q^{-2}}{q^4 - q^{-2}} \right\}$$

- эти идеалпотенты строятся по Тониесу (15б)

$$P_{\begin{smallmatrix} x \\ 312 \end{smallmatrix}} = P_{\begin{smallmatrix} 12 \\ \square \end{smallmatrix}} \cdot \left\{ \frac{J_3 - q^4}{q^{-2} - q^4} \right\}$$

Свойства построенных идеалпотентов:

$$*) P_{\begin{smallmatrix} 321 \\ \square \end{smallmatrix}} + P_{\begin{smallmatrix} 213 \\ \square \end{smallmatrix}} = P_{\begin{smallmatrix} 12 \\ \square \end{smallmatrix}}; P_{\begin{smallmatrix} 123 \\ \square \end{smallmatrix}} + P_{\begin{smallmatrix} 312 \\ \square \end{smallmatrix}} = P_{\begin{smallmatrix} 12 \\ \square \end{smallmatrix}}$$

$$**) P_t \cdot P_s = \delta_{t,s} P_t,$$

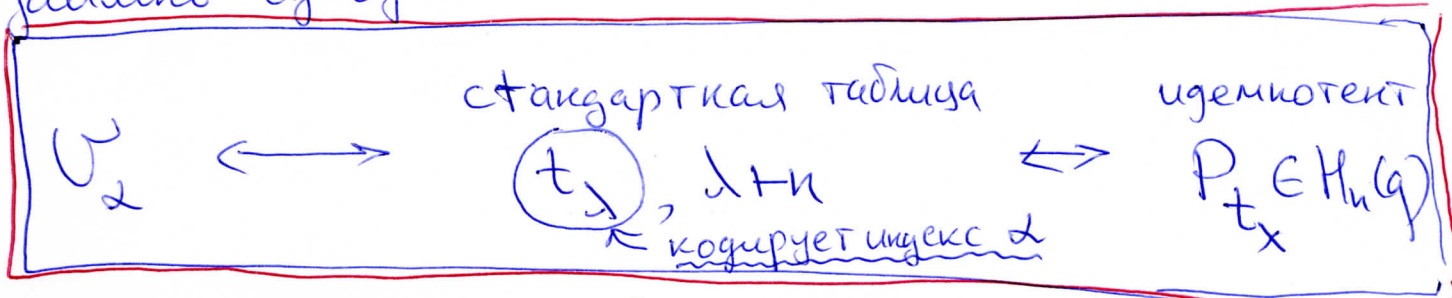
$$\text{где } t, s \in \{ \begin{smallmatrix} 321 \\ \square \end{smallmatrix}, \begin{smallmatrix} 213 \\ \square \end{smallmatrix}, \begin{smallmatrix} 312 \\ \square \end{smallmatrix}, \begin{smallmatrix} 12 \\ \square \end{smallmatrix} \}$$



Четверка построенных идеалпотентов дает нирсовское разложение единиц в алгебре  $H_3(q)$

Упражнение 9 Для какого из идеалпотентов в  $H_3(q)$  можно использовать элементы Юнса-Марри в  $H_4(q)$ .  
постройте Тониесово для элементов Юнса-Марри в  $H_4(q)$ .  
По этому Тониесову постройте нирсовское разложение  
единиц в  $H_4(q)$

В конце каждого из  $H_n(q)$  мы получаем  
билипо-однозначные сопоставления



причем, если  $\alpha = \{a_1, a_2, \dots, a_n\}$ , то есть

$$J_i V_\alpha = a_i V_\alpha,$$

то

$$J_i P_{t_\lambda} = P_{t_\lambda} J_i = a_i P_{t_\lambda}$$

откуда следует, что идеалитет  $P_{t_\lambda}$  является проекцией на вектор  $V_\alpha$  в любом неприводимом представлении  $V$ :

$$P_{t_\lambda} V = \{V_\alpha\}, \text{ если } V_\alpha \in V$$

$$P_{t_\lambda} V = 0, \text{ если } V_\alpha \notin V$$

При этом в одном и том же пространстве  $V$  неприводимо могут действовать лишь проекции, отвечающие одной и той же диаграмме Юнга.

Идеалитет  $P_{t_\lambda}$  ортого нормирован и прием тавтоз (поскольку проецируют на одномерное подпространство). Они задают первое правило ~~единиц~~ единиц в  $H_n(q)$ :  $\sum_{t_\lambda, \lambda \vdash n} P_{t_\lambda} = 1$ .

Rem: при построении идеалитетов  $P_{t_\lambda}$  приходится исключать значения  $q$ , при которых в знаменателях идеалитетов появляются нули (т.е. собнагающие корни в характеристических ~~полиномах~~ полиномах  $J_i$ ). Это как раз условие

(30)

некупростое алгеброе  $H_3(q)$ .

Например, при рассмотрении идеалов в  $H_3(q)$  нал, помимо  $[2]_q \neq 0$  (требуется учесть в  $H_2(q)$ ) потребовалось  $q^4 - q^2 \neq 0$ , т.е.  $[3]_q \neq 0$ .

Rem. Полупростое алгеброе  $H_3(q)$  кративи произведением матричных алгебр, т.е. алгебрам блочно-диагональных матриц. При этом построение наци идеалов можно считать прообразами диагональных матричных единиц: — матриц с единственным ~~на~~ квадратным элементом — единицей где-то на ее диагонали.

Пример: Наша конструкция предполагает изоморфизм  $H_3(q)$  с алгеброй  $4 \times 4$  матриц с двумя  $1 \times 1$  диагональными блоками и одним  $2 \times 2$  блоком

$$H_3(q) \cong \begin{pmatrix} * & 0 & 0 & 0 \\ 0 & * & 0 & 0 \\ 0 & 0 & * & 0 \\ 0 & 0 & 0 & * \end{pmatrix}$$

Построенное наци 4 идеаловента при этом изоморфизме соответствуют четырем диагональным матричным единицам с единицами на отмеченных "\*" местах. Два идеаловента

$P_{\begin{smallmatrix} 2 & 3 \\ 1 & \end{smallmatrix}}$  и  $P_{\begin{smallmatrix} 3 & 2 \\ 1 & \end{smallmatrix}}$  расположаются в одном  $2 \times 2$  блоке.

§5

## Неприводимое представление $H_n(q)$

31

### II. Недиагональное матричное единицное

Мы построили серию идеалов в  $H_n(q)$  —

$P_x$  — аналогов диагональных матричных единиц.

Попробуем построить аналог изоморфизма  $H_n(q)$

в прямое произведение матричных алгебр, т.е.  
как это прошло и для недиагональных матричных  
единиц. Для этого нужны свойства оператора

( $g_i + \lambda \frac{a_{i+1}}{a_i - a_{i+1}} 1$ ), отображающего  $P_x \rightarrow U_x$  (см. (12))

Переобозначим  $a_{i+1}/a_i = q^{2x}$  (естественно, т.к.  $a_i \in \{q^{2k}\}$ )

и назовём

$$g_i(x) := \left( g_i + \frac{q^x}{[x]_q} 1 \right) \quad (16)$$

Бактеризованный элементом  $g_i$ . Там потребуется  
чтобы параметр  $x$ , зачастую называемый спектром  
параметром, принимал значения в  $\mathbb{Z}$ . Однако, в прило-  
жениях бывает  $x \in \mathbb{C}$ . Название "спектральный"  
где  $x$  происходит из приложений.

Свойства бактеризованных элементов:

Лемма 4: Для генераторов  $g_i$  алгебр Гекке  $H_n(q)$

имеем:

а)

$$g_i(x) g_i(-x) = \frac{[x+1]_q [x-1]_q}{([x]_q)^2} 1 \quad (17a)$$

$$5) \boxed{g_i(x) g_{i+1}(x+y) g_i(y) =}$$

$$= g_{i+1}(y) g_i(x+y) g_{i+1}(x) \quad (17b)$$

Последнее соотношение называется уравнением Ани - Бакстера.

Упражнение 10. Докажите (17a) и (17b), воспользовавшись соотношениями для генераторов  $g_i$  (8).

Мы знаем как  $g_i(x)$  действует на  $V_\alpha, V_{\alpha'}$ :

$$g_i(x) V_\alpha = \begin{cases} V_{\alpha'}, & \text{если } q^{\frac{2x}{\alpha}} = \frac{\alpha_{i+1}}{\alpha_i}, \alpha'_i = \alpha_i \text{ odd} \\ 0, & \text{если } x = \pm 1; \end{cases} \quad / \text{Теорема 1/}$$

$$g_i(-x) V_{\alpha'} = \frac{[x+1]_q [x-1]_q}{(1-x)_q^2} V_\alpha \quad / \text{Лемма 4a/}$$

и как  $P_\alpha$  и  $P_{\alpha'}$  действуют на  $V_\alpha, V_{\alpha'}$ :

$$P_\alpha V_\alpha = V_\alpha$$

$$P_\alpha V_{\alpha'} = 0$$

$$P_{\alpha'} V_\alpha = 0$$

$$P_{\alpha'} V_{\alpha'} = V_{\alpha'}$$

Кроме того, это верно и для  $\beta$   $\neq \alpha, \beta \neq \alpha'$

Последний за их совместным действием:

$$[g_i(x) P_\alpha] V_\alpha = V_\alpha'$$

$$[g_i(x) P_\alpha] V_\alpha' = 0 \quad (\text{это верно и для } \beta \neq \alpha)$$

Это есть действие квадратичной матричной единицы! Видим, имеем дело с ортогональной:

$$\begin{aligned} [P_\alpha' g_i(-x)] V_\alpha &= P_\alpha' \left( g_i(x) + \left( \frac{q^x}{[x]_q} + \frac{q^{-x}}{[x]_q} \right) 1 \right) V_\alpha = \\ &= P_\alpha' \left( V_\alpha' + \left( \frac{q^x + q^{-x}}{[x]_q} V_\alpha \right) \right) = V_\alpha' \end{aligned}$$

$$[P_\alpha' g_i(-x)] V_\alpha' = P_\alpha' \underbrace{\frac{[x+1]_q [x-1]_q}{([x]_q)^2}}_{\text{(это верно и для } \beta \neq \alpha)} V_\alpha = 0$$

Поскольку оператор  $E_{\alpha' \alpha}$  со свойствами

$$E_{\alpha' \alpha} V_\beta = \delta_{\alpha \beta} V_\alpha'$$

(квадратичная матричная единица) в моде ~~единице~~  
представлением определен единично, что показывает

Теорема 5: Для  $\neq$  наре единицей

$$P_\alpha \cup P_\alpha' \in \mathrm{Hn}(q), \text{ таких что } \alpha' = \sigma_i \alpha$$

$$\boxed{\begin{aligned} g_i(x) P_\alpha &= P_\alpha' g_i(-x) \\ P_\alpha g_i(x) &= g_i(-x) P_\alpha' \end{aligned}} \quad (18a)$$

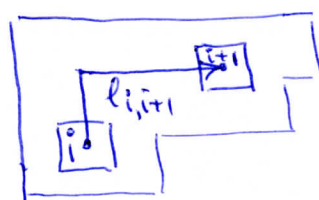
$$\text{зде } q^{2x} = \frac{a_{i+1}}{a_i} \quad | \quad \alpha = (..., a_i, a_{i+1}, ..., a_n).$$

$$\text{Если } \underline{x = \pm 1} : \boxed{g_i(x) P_2 = P_2 g_i(x) = 0} \quad (18b)$$

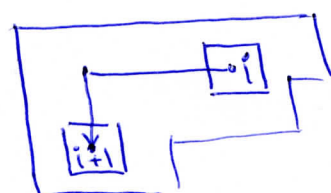
Таким образом мы построим преобразование квадратных матричных единиц  $E_{\alpha\alpha'}$ ,  $E_{\alpha'\alpha''}$ ,  $\alpha' = \sigma_i \alpha$  в алгебре Гекке (сторкостью до их нормировки).

Параметр  $x$  в формулах (18) имеет геометрическую интерпретацию.

Если  $\alpha \mapsto t_\alpha =$



$\alpha' \mapsto t'_{\alpha'} =$



то  $\alpha$  — это длина крюка  $l_{i,i+1}$ , проведенного из клетки  $\boxed{i}$  в клетку  $\boxed{i+1}$  (единицей длины считается разница между  $i$  и  $i+1$ ). Крюк ориентирован от  $\boxed{i}$  к  $\boxed{i+1}$ .  $l_{i,i+1}$  называется тенью/отрицателька, если крюк ориентирован вправо/влево-вниз. Графическая запись (18):

$$g_i(l_{i,i+1}) P \begin{array}{c} \nearrow \\[-10pt] \searrow \\[-10pt] l_{i,i+1} \end{array} = P \begin{array}{c} \nearrow \\[-10pt] \searrow \\[-10pt] -l_{i,i+1} \end{array} g_i(-l_{i,i+1})$$

$$g_i(1) P \begin{array}{c} \nearrow \\[-10pt] \searrow \\[-10pt] 1_{i,i+1} \end{array} = 0, \quad g_i(-1) P \begin{array}{c} \nearrow \\[-10pt] \searrow \\[-10pt] -1_{i,i+1} \end{array}, \text{ etc.}$$

(18c)

Для построения кедиагональных матричных единиц, отвечающих паре произвольных стандартных таблиц одинаковой длины  $\lambda$ , надо повторить процедуру перестановки клеток  $\boxed{i}$ ,  $\boxed{i+1}$  многоократно. При этом, для совместности всей предлагаемой конструкции требуется, чтобы 2 способа построения кедиагональной матричной единицы  $E_{\alpha, \beta}$ :

$$\alpha \rightarrow \beta = (\sigma_i \circ \sigma_{i+1} \circ \sigma_i)^\circ \alpha$$

$$\alpha \rightarrow \beta = (\sigma_{i+1} \circ \sigma_i \circ \sigma_{i+1})^\circ \alpha$$

давали идентичные ответы. Проверим:

$$\alpha = \boxed{\begin{array}{c|cc} l_{i,i+2} & & \\ \hline & l_{i+1,i+2} & \\ l_{i,i+1} & & \end{array}} \quad , \quad \beta = \boxed{\begin{array}{ccc} & & \boxed{i} \\ & & \boxed{i+1} \\ & & \boxed{i+2} \end{array}}$$

Первый способ перехода от  $\alpha$  к  $\beta$  соответствует умножению  $P_\alpha$  слева на

$$\circ g_i(l_{i,i+1}) g_{i+1}(l_{i,i+2}) g_i(l_{i+1,i+2}).$$

Второй способ — умножение  $P_\alpha$  слева на

$$g_{i+1}(l_{i+1,i+2}) g_i(l_{i,i+2}) g_{i+1}(l_{i,i+1}).$$

С учётом  $l_{i,i+2} = l_{i,i+1} + l_{i+1,i+2}$ , равенство этих двух множителей гарантируется уравнением Гира-Бакстера (17б).

На этом же практическом завершили курс  
практическую информатику

$$\boxed{H_n(q) \cong \bigtimes_{\lambda \vdash n} \text{Mat}(d_\lambda, \mathbb{C})},$$

здесь  $d_\lambda$  — число стандартных таблиц формы  $\lambda$ , дающих  
формулы крюков.

На самом деле это неизи и явные формулы  
действие генераторов  $g_i$  в любой конфи-  
гурации представлений  $V_\lambda$ .

В базисе  $\{v_\alpha\}$  матрица  $g_i$  имеет  
блочно-диагональный вид с  $1 \times 1$  и  $2 \times 2$  блоками.

$1 \times 1$  блоки:

— Если  $\alpha \Rightarrow \boxed{\begin{array}{|c|c|} \hline i & i+1 \\ \hline \end{array}}$ , то  $g_i(1)v_\alpha = 0$ , то есть

$$\boxed{g_i v_\alpha = q v_\alpha}$$

— Если  $\alpha \Rightarrow \boxed{\begin{array}{|c|} \hline i \\ \hline i+1 \\ \hline \end{array}}$ , то  $g_i(-1)v_\alpha = 0$ , то есть

$$\boxed{g_i v_\alpha = -\frac{1}{q} v_\alpha}$$

2x2 блоки:

- Если  $\alpha \rightarrow \begin{array}{c} \square_{i,i+1} \\ \square_i \end{array}$ ,  $\alpha' \rightarrow \begin{array}{c} \square_i \\ \square_{i+1} \end{array}$ , то

на наре базисных векторов  $v_\alpha, v_{\alpha'}$  генерируется матрицей:

$$g_i = \begin{pmatrix} \frac{q^l}{[l]_q} & \frac{[l-1]_q [l+1]_q}{([l]_q)^2} \\ 1 & -\frac{q^{-l}}{[l]_q} \end{pmatrix}, \quad l = l_{i,i+1}$$

Действительно, проверим:

$$g_i(l) v_\alpha = v_{\alpha'} \Leftrightarrow g_i v_\alpha = v_{\alpha'} + \frac{q^l}{[l]_q} v_\alpha.$$

$$g_i(-l) v_{\alpha'} = \frac{[l+1]_q [l-1]_q}{([l]_q)^2} v_\alpha \Leftrightarrow g_i v_{\alpha'} = \frac{[l+1]_q [l-1]_q}{([l]_q)^2} v_\alpha - \frac{q^{-l}}{[l]_q} v_\alpha$$

Пример: В 2-мерном представлении алгебра  $H_3(q)$

базисе  $v_1 := \begin{smallmatrix} 1 \\ 0 \end{smallmatrix}$ ,  $v_2 := \begin{smallmatrix} 0 \\ 1 \end{smallmatrix}$

$$g_1 = \begin{pmatrix} q & 0 \\ 0 & -q^{-1} \end{pmatrix} \quad g_2 = \begin{pmatrix} -\frac{q^{-2}}{[2]_q} & \frac{[3]_q}{[2]_q^2} \\ 1 & \frac{q^2}{[2]_q} \end{pmatrix}$$

Упражнение 11. Постройте матрицы генераторов  $g_1, g_2, g_3$  в представлении  $\begin{smallmatrix} 1 & 1 \\ 1 & 1 \end{smallmatrix}$  алгебра  $H_4(q)$